

金沢工業大学 正会員 ○本田 寛行
 金沢大学工学部 正会員 梶川 康男
 金沢大学工学部 正会員 小堀 義雄

1. まえがき 道路橋の衝撃係数、疲労強度および歩行者の振動感覚などに関する研究において、道路橋の動的応答を解析する場合、その振動の原因の一つとして橋面凹凸があげられている。道路橋の伸縮装置部を自動車が通過するとき、自動車には非常に大きな衝撃が生じる。これは、走行自動車が橋梁に入る前の路面凹凸による振動と、伸縮装置部の凹凸による衝撃によって決まる自動車荷重の初期条件の問題である。しかし、自動車の乗心地や走行性に関する研究から、高速道路の伸縮装置部凹凸の調査は多く行われているが、一般国道や県道における伸縮装置部の調査は比較的少ない。そこで、本研究では、伸縮装置部の凹凸特性を把握し、あわせて走行自動車による道路橋の動的応答解析の一資料を得るために基礎的な調査を行った。

2. 調査方法 対象とした橋梁は北陸3県の主に一般国道と県道に架設されている91橋をピックアップし、橋台と橋脚上の合計248の伸縮装置部の凹凸を測定した。測定方法は、図-1に示す木製の測定器を製作し、ボルトGを伸縮装置の中央に設置して、その前後1.5mの凹凸値をノギスで10mmまで測定した。測定点は自動車の通過頻度が比較的高いセントラライインから2.0mを選び、橋軸方向に中央部の1mを5cm間隔、その他の1mを10cm間隔で測定した。なお、測定器の水準を保つために、2個の水準器を取りつけた。

3. データ解析 伸縮装置部3mの最大凹凸値 y_{max} を図-2に示す方法から求めた。また、測定間隔10cmの合計2m部と測定間隔5cmの1m部について、それぞれの標準偏差値を求めた。さらに、測定間隔5cmの1m部については、伸縮装置部の局部的な凹凸形状を図-3に示す3つのパターンA、B、Cに分類した。なお、凹凸形状が図-3に示す逆の形状、例えば下に凸の形状もパターンBとした。

4. 調査結果および考察 伸縮装置部の一般的な凹凸特性を把握するため、図-4～7を示す。図-4は伸縮装置の位置による最大凹凸値の分布を示している。図中の \bar{y}_{max} と $\sigma_{y_{max}}$ は最大凹凸値 y_{max} の平均値と標準偏差値をそれぞれ示している。 \bar{y}_{max} 値から伸縮装置

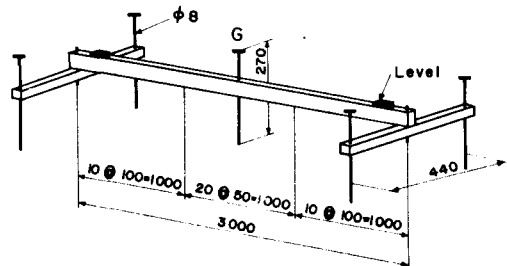


図-1 伸縮装置部凹凸の測定器

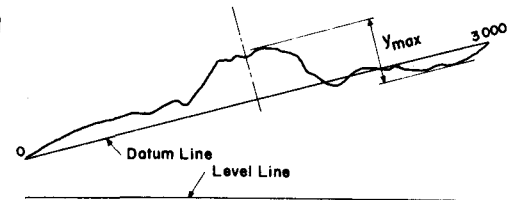


図-2 最大凹凸値 y_{max} の読み取り方法

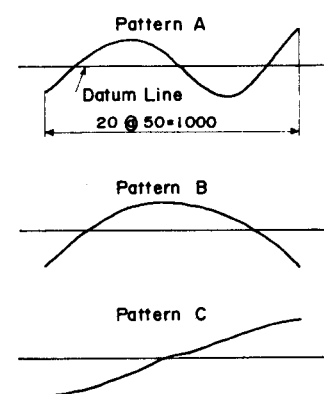


図-3 凹凸形状の分類

Joint Position	Total	T_{max} (cm)	σ_{max} (cm)
Pier	91	1.58	0.66
Abutment	157	1.98	0.72
Whole	248	1.83	0.70

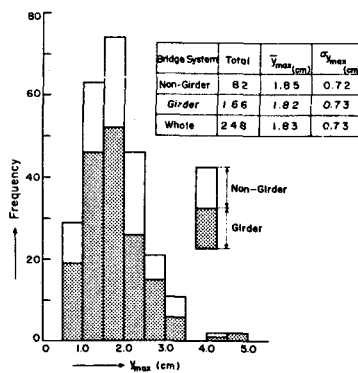


図-5 橋梁の構造形式による
 y_{max} の分布

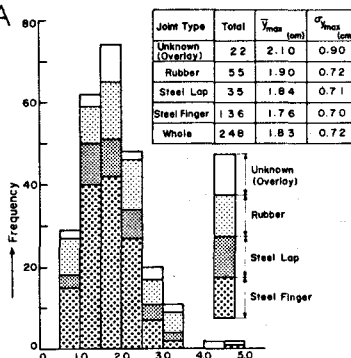


図-7 伸縮装置の構造形式による Y_{max} の分布

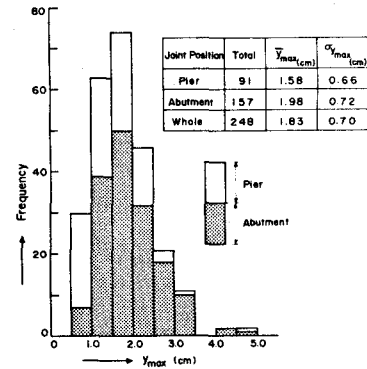


図-4 橋台と橋脚による y_{max} の分布

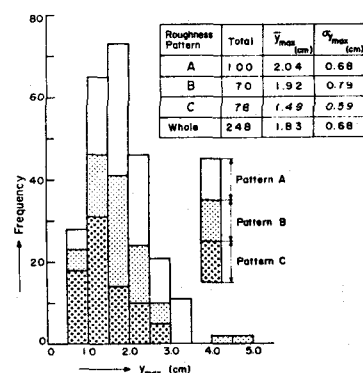


図-6 伸縮装置部凹凸の形状による y_{max} の分布

表-1 伸縮装置部の最大凹凸値の
平均値と標準偏差値

		Joint Type								
		Unknown	Overlaid	Rubber	Steel Lap	Steel Finger				
Joint Position	Pier	A	(4) —	1.96	(4) —	2.35	(10) —	1.76 0.69	(13) —	1.73 0.51
	Roughness Pattern	B	(6) —	2.19	(8) —	1.25	(8) —	1.73 0.28	(11) —	1.77 0.29
	Abutment	C	(2) —	1.18	(6) —	0.63	(2) —	0.91	(20) —	1.12 0.41
	Pier	A	(5) —	0.70	(6) —	1.44	(2) —	0.91	(34) —	1.98 0.56
	Roughness Pattern	B	(8) —	0.69	(6) —	0.71	(6) —	0.84	(24) —	2.13 1.00
	Abutment	C	(3) —	2.42	(8) —	1.79	(8) —	2.03 0.57	(34) —	1.66 0.55
	Pier	A	(5) —	1.69	(8) —	1.84	(8) —	1.40	(34) —	1.66 0.55
	Roughness Pattern	B	(8) —	1.66	(6) —	0.56	(6) —	1.40	(24) —	2.13 1.00
	Abutment	C	(3) —	1.66	(8) —	0.56	(8) —	1.40	(34) —	1.66 0.55

() : Number of Measurement
 Upper : Mean Value of y_{max} (cm)
 Lower : Standard Deviation Value of y_{max} (cm)